

3.4.2 Mayer-Vietoris

Th (Mayer-Vietoris) Soit X un espace topologique et $Y, Z \subseteq X$ tels que $\overset{\circ}{Y} \cup \overset{\circ}{Z} = X$.

Notons $a: Y \cap Z \hookrightarrow Y$ $c: Y \hookrightarrow X$ les inclusions.
 $b: Y \cap Z \hookrightarrow Z$ $d: Z \hookrightarrow X$

Alors il existe une suite exacte longue :

$$\cdots \rightarrow H_{k+1}(X, A) \rightarrow H_k(Y \cap Z, A) \xrightarrow{(a_*, b_*)} H_k(Y, A) \oplus H_k(Z, A) \xrightarrow{c_* + d_*} H_k(X, A) \rightarrow H_{k-1}(Y \cap Z, A) \rightarrow \cdots$$

Preuve: Posons $\mathcal{U} = \{Y, Z\}$. On a une suite exacte courte de groupes de cohomologie :

$$0 \rightarrow C(Y \cap Z, A) \xrightarrow{(a_*, b_*)} C(Y, A) \oplus C(Z, A) \xrightarrow{c_* + d_*} C^U(X, A) \rightarrow 0$$

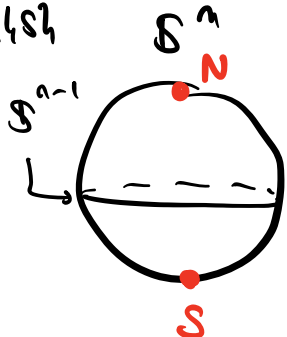
la suite longue concernée et les isomorphismes $H_k^U(X, A) \cong H_k(X, A)$ donnés par la petite droite fournit la suite longue voulue.

$$\text{Th: } H_k(S^n, A) = \begin{cases} A \oplus A & \text{si } k=m=0 \\ A & \text{si } m>0 \text{ et } k \in \{0, m\} \\ 0 & \text{sinon} \end{cases}$$

Preuve: On a déjà traité $k=0$ et $m=0$. Reste le cas $m > 0$.

On applique Mayer-Vietoris à $X = S^n$, $Y = S^{n-1} \cup N^1$, $Z = S^n \setminus \{N^1\}$
 où $X \cap Y$ se rétracte sur S^{n-1} .

On obtient les suites exactes :



$$\left\{ \begin{array}{l} 0 \rightarrow H_m(S^n, A) \xrightarrow{\quad \text{A} \quad} H_{m-1}(S^{n-1}, A) \rightarrow 0 \\ 0 \rightarrow H_k(S^n, A) \xrightarrow{\quad \text{A} \oplus A \quad} H_{k-1}(S^{n-1}, A) \xrightarrow{\quad \text{A} \oplus A \quad} 0 \end{array} \right. \quad \text{si } m \geq 1$$

$$(x, y) \xrightarrow{\quad \text{A} \oplus A \quad} (x+y, x-y)$$

$$\text{et } \left\{ \begin{array}{l} 0 \rightarrow H_1(S^1, A) \xrightarrow{\quad \text{A} \quad} H_0(S^0, A) \xrightarrow{\quad \text{A} \oplus A \quad} H_0(X, A) \oplus H_0(Y, A) \\ 0 \rightarrow H_k(S^1, A) \xrightarrow{\quad \text{A} \oplus A \quad} H_{k-1}(S^0, A) \end{array} \right. \quad \text{si } m = 1$$

Le troisième s'en déduit.

Corollaire: Pour $n \geq 0$, S^n n'est pas contractile.

3.4.3 Excision

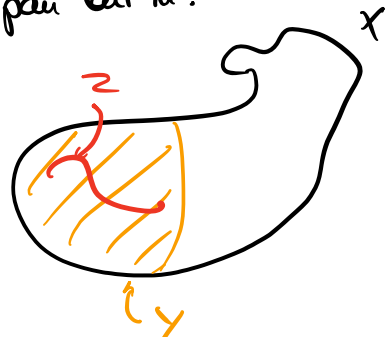
Th (excision): Soient $Z \subseteq Y \subseteq X$ tels que $\overline{Z} \subseteq Y^\circ$.

Alors l'inclusion $(X-Z, Y-Z) \hookrightarrow (X, Y)$ induit des isomorphismes

$$H_n(X-Z, Y-Z, A) \xrightarrow{\sim} H_n(X, Y, A) \text{ pour tout } n.$$

Démonstration: Posons $U = Y, X-Z$.

La morphisme de suite courte de complexes :



$$\begin{array}{ccccccc} 0 & \rightarrow & C(Y, A) & \rightarrow & C^U(X, A) & \rightarrow & C(X, A) / C(Y, A) \xrightarrow{\phi} 0 \\ & & \parallel & & \downarrow & & \text{induit :} \\ 0 & \rightarrow & C(Y, A) & \rightarrow & C(X, A) & \rightarrow & C(X, A) / C(Y, A) \xrightarrow{\phi_*} 0 \end{array}$$

$$\begin{array}{ccccccc} H_k(Y, A) & \rightarrow & H_k^U(X, A) & \rightarrow & H_k(C) & \rightarrow & H_{k-1}(Y, A) \rightarrow H_{k-1}^U(X, A) \\ \parallel & & \text{f} \cap \text{petites} & & \downarrow \phi_* & & \parallel \\ & & \text{chaines} & & & & \text{f} \cap \text{petites} \\ & & & & & & \text{chaines} \end{array}$$

$$H_k(Y, A) \rightarrow H_k(X, A) \rightarrow H_k(D) \rightarrow H_{k-1}(Y, A) \rightarrow H_{k-1}(X, A)$$

On sait que ϕ_* (sauf dans le cas des 5 (TD 8 Exo 1)).

Comme $C = C(X-Z, A) / C(Y-Z, A)$, il vient :

$$H_k(X-Z, Y-Z, A) = H_k(C) \xrightarrow{\sim} H_k(D) = H_k(X, Y, A).$$

Voici une application :

Th (chirurgie de l'dimension, Brower 1912)

Soient M et N des variétés topologiques de dimension n et m .

Si M et N sont plongeables, alors $n = m$.

Preuve: $f: M \xrightarrow{\sim} N$ plongé, $x \in N$.

Alors $f_*: H_k(M, M \setminus \{x\}, \mathbb{Z}) \xrightarrow{\sim} H_k(N, N \setminus f(x), \mathbb{Z})$

|| excision

$$H_k(\mathbb{R}^n, \mathbb{R}^n \setminus \{0\}, \mathbb{Z})$$

|| excision

$$H_k(\mathbb{R}^m, \mathbb{R}^m \setminus \{0\}, \mathbb{Z})$$

Or le calcul de $H_k(\mathbb{R}^n \setminus \{0\}, \mathbb{Z}) = H_k(\mathbb{S}^{n-1}, \mathbb{Z})$

et la suite exacte longue de la paire $(\mathbb{R}^m, \mathbb{R}^m \setminus \{0\})$

montre que $H_k(\mathbb{R}^m, \mathbb{R}^m \setminus \{0\}, \mathbb{Z}) = \begin{cases} \mathbb{Z} & \text{si } k = m \\ 0 & \text{si } k \neq m \end{cases}$

On déduit donc que $n = m$.

L'excision est souvent appliquée sous la forme suivante :

Def: $Y \subseteq X$ fermé. On dit que (X, Y) est une bonne paire s'il existe un voisinage U de Y dans X qui se rétracte par déformation forte sur Y .

ex: (cf TD10): Si X CW-complexe et $Y \subseteq X$ sous-CW-complexe, alors (X, Y) est une bonne paire.

Prop: Si (X, Y) bonne paire, alors l'application quotient $(x, y) \mapsto (x/y, y/y)$ induit des isomorphismes $H_m(X, Y, A) \cong H_m(X/Y, Y/Y, A)$ pour tout m .

Preuve: Soit $H: [0, 1] \times U \rightarrow U$ une rétraction par déformation forte d'un voisinage U de Y sur Y . Elle passe au quotient en une rétraction par déformation forte $[0, 1] \times U/Y \rightarrow U/Y$ de U/Y sur Y/Y .

On démontre de l'invariance par homotopie que

$$O = H_m(Y, Y, A) \cong H_m(U, Y, A)$$

et

$$O = H_m(Y/Y, Y/Y, A) \cong H_m(U/Y, Y/Y, A).$$

Le diagramme commutatif :

$$\begin{array}{ccc}
 & \text{suite longue du} \\
 & \text{triplet } (X, U, V) \\
 H_m(X, Y, A) & \xrightarrow{\sim} & H_m(X, U, A) \xleftarrow{\text{excision}} H_m(X-Y, U-Y, A) \\
 \downarrow & \downarrow & \downarrow \text{? les paires } (X-Y, U-Y) \\
 H_m(X/Y, Y/Y, A) & \xrightarrow{\sim} & H_m(X/Y, U/Y, A) \xleftarrow{\text{excision}} H_m(X/Y-Y/Y, U/Y-Y/Y, A) \text{ soit les m\^emes !} \\
 & \text{suite longue} \\
 & \text{du triplet } (X/Y, U/Y, V/Y)
 \end{array}$$

Montre alors que $H_m(X, Y, A) \cong H_m(X/Y, Y/Y, A)$.

3.4.4 Le théorème de Sardou - Poincaré

Th (Sardou - Poincaré): Soit $0 \leq m < n$ et $f: S^m \rightarrow S^n$ homéomorphe sur son image. Alors :

$$H_k(S^m - f(S^m), Q) = \begin{cases} Q \oplus Q \text{ si } k=0 \text{ et } m=n-1 \\ Q \text{ si } m < n-1 \text{ et } k \in \{0, m-n+1\} \\ 0 \text{ sinon} \end{cases}$$

Corollaire: Si $f: S^{n-1} \rightarrow S^n$ homéomorphe sur son image, alors

$X = S^n - f(S^{n-1})$ a deux composantes connexes.

Preuve du corollaire: $H_k(X, Q) = Q^2$ donc X a deux composantes connexes par arcs. Comme X ouvert de S^n , X est localement connexe par arcs. Ses composantes par arcs sont donc ses composantes connexes.

On a les schémas :

Proposition: Soit $0 \leq m \leq n$ et $f: [0,1]^m \rightarrow S^n$ homéomorphe sur son image. Alors $H_k(S^m - f([0,1]^m), Q) = \begin{cases} Q \text{ si } k=0 \\ 0 \text{ sinon.} \end{cases}$

Prop \Rightarrow Th : Démonstration voir m.

• Pour $m=0$, $S^m - f(S^m) \simeq S^{n-1} \times \mathbb{R}$ a la topologie de S^{n-1} .

- Pour $m \geq 1$, appliquer l'opér. Vietoris avec $\begin{cases} U = S^m - f(\text{hémisphère nord}) \\ V = S^m - f(\text{hémisphère sud}) \end{cases}$

$\left\{ \begin{array}{l} H_k(U, Q) \text{ et } H_k(V, Q) \text{ sont connexes par la proposition} \\ H_k(U \cup V, Q) \text{ est connexe par hypothèse de récurrence} \end{array} \right.$

Ces définitions permettent de calculer $H_k(\text{UNV}, \alpha)$. Par exemple, dans le cas le plus intéressant où $k=0$ et $m=n-1$, il vient :

$$H_1(U, Q) \oplus H_1(V, Q) \rightarrow H_1(U \cup V, Q) \rightarrow H_0(U \cap V, Q) \rightarrow H_0(U, Q) \oplus H_0(V, Q) \rightarrow H_0(U \cup V, Q) = 0$$

$$0 = \text{g} = \text{q} = \text{q}^{\prime } = \text{q}^{\prime \prime } = \text{q}^{\prime \prime \prime }$$

6 Q. copies vectoriel
à deux dimensions 2

Remarque: On est intéressé par H_0 mais on utilise H_b pour tout b !!!

Prise de la proportion: Recueille sur un .

- Para $m = 0$, $S^m - f([0,1]^m) \subset \mathbb{R}^m$ é contável.
 - Para $m \geq 1$, supõe-se $b > 0$.

- Pour $n \geq 1$, supposez déjà $b > 0$.
Pour l'^e d'après, soit $\alpha \in H_k(S^n; f((S^1)^n), \mathbb{Q})$ non nul, représenté par un cycle $B \in Z_k(S^n; f((S^1)^n), \mathbb{Q})$.

On applique Major - Victoria à :

$$H_{k+r}(U \circ V, Q) \rightarrow H_k(U \wedge V, Q) \xrightarrow{\quad \text{orange arrow} \quad} H_k(U, Q) \oplus H_k(V, Q)$$

II
O pos
hypothèse de récurrence

cette application est donc injective.

Ainsi l'image de α dans $H_k(U, G)$ est nulle.

Il faudrait alors que au contraire une suite décrémentale $[0,1] = I_0 \supseteq I_1 \supseteq \dots$ d'intervalle finis, I_j étant de largeur $\frac{1}{2^j}$, tel que l'image de α dans

$H_k(S^n - f([0,1]^{n-1} \times I_j), Q)$ est non nulle.

Soit $p = \bigcap_j I_j$. Alors l'image de α dans

$H_k(S^n - f([0,1]^{n-1} \times \{p\}), Q)$ est non nulle car, si β était le bord d'une $(k+1)$ -chaine dans $S^n - f([0,1]^{n-1} \times \{p\})$, cette $(k+1)$ -chaine aurait image dans $S^n - f([0,1]^{n-1} \times I_j)$ pour $j \gg 0$ et α serait déjà nul ici.

Nous avons contredit l'hypothèse de l'enseigne !

Quand $k=0$, au contraire de l'enseigne similaire : si $x, y \in S^n - f([0,1]^n)$ sont dans deux composantes connexes pour ares distinctes, on construit une suite d'intervalle (I_j) comme au-dessus telle que x, y sont encore dans deux composantes connexes pour ares distinctes de $S^n - f([0,1]^{n-1} \times I_j)$.

On démontre que x et y sont dans deux composantes connexes pour ares distinctes de $S^n - f([0,1]^{n-1} \times \{p\})$, ce qui contredit l'hypothèse de l'enseigne.